

室蘭工業大学 正員 能町純雄
 北見工業大学 正員 〇松岡健一

円柱の三次元応力問題の解法については、無限円柱に対しては I. N. Sneddon や Gray, Mathew 等の研究があり、有限円柱の問題では L. N. G. Filon や青藤等の研究がある。ここでは有限円柱の軸対称問題を Fourier-Hankel 変換を用いて解き、円柱の上下両面に剪断力を受ける場合の円柱の応力および変形の状態を検討する。

1. 力の釣合式:

軸対称の場合の力の釣合式は、 $\sigma_r, \sigma_\theta, \sigma_z$ をそれぞれ r, θ, z 方向の直応力とし、 τ_{rz} を r 軸に垂直な面に働く z 方向の剪断応力とすれば

$$\frac{\partial \sigma_r}{\partial r} + \frac{\sigma_r - \sigma_\theta}{r} + \frac{\partial \tau_{rz}}{\partial z} = 0 \quad (1), \quad \frac{\partial \sigma_\theta}{\partial z} + \frac{\partial \tau_{rz}}{\partial r} + \frac{\tau_{rz}}{r} = 0 \quad (2)$$

また円柱の r, z 方向の変位を u, w とすれば

$$\left. \begin{aligned} \sigma_r &= (2\mu + \lambda) \frac{\partial u}{\partial r} + \lambda \frac{u}{r} + \lambda \frac{\partial w}{\partial z}, & \sigma_\theta &= \lambda \frac{\partial u}{\partial r} + (2\mu + \lambda) \frac{u}{r} + \lambda \frac{\partial w}{\partial z} \\ \sigma_z &= \lambda \frac{\partial u}{\partial r} + (2\mu + \lambda) \frac{\partial w}{\partial z} + \lambda \frac{u}{r}, & \tau_{rz} &= \mu \left(\frac{\partial u}{\partial z} + \frac{\partial w}{\partial r} \right) \end{aligned} \right\} \quad (3)$$

2. Fourier-Hankel 変換と逆変換:

$$S_n[f(\alpha)] = \int_0^a f(x) \sin \frac{n\pi}{a} x dx, \quad C_n[f(\alpha)] = \int_0^a f(x) \cos \frac{n\pi}{a} x dx$$

とすれば (ただし $n=1, 2, \dots$)

$$f(x) = \frac{2}{a} \sum_n S_n[f(\alpha)] \sin \frac{n\pi}{a} x$$

$$f(x) = \frac{2}{a} \left\{ \frac{1}{2} \int_0^a f(\alpha) dx + \sum_n C_n[f(\alpha)] \cos \frac{n\pi}{a} x \right\}$$

また

$$J_l[f(\alpha)] = \int_0^a f(\alpha) x J_l(\alpha x) dx, \quad J_l[f(\omega)] = \int_0^a f(\omega) x J_l(\omega x) dx$$

ただし J_l は $J_l(\alpha a) = 0$ の根である。この逆変換は

$$f(\alpha) = \frac{2}{a^2} \sum_l J_l[f(x)] \frac{J_l(\alpha x)}{J_l(\alpha a)}$$

$$f(\alpha) = \frac{2}{a^2} \left\{ \int_0^a f(\omega) x dx + \sum_l J_l[f(\omega)] \frac{J_l(\alpha x)}{J_l(\alpha a)} \right\}$$

3. 変位成分の Fourier-Hankel 変換およびその逆変換:

(1), (2) 式にそれぞれ $L_1 = \cos \sqrt{z} \cdot r J_l(\sqrt{z} r), L_2 = \sin \sqrt{z} \cdot r J_l(\sqrt{z} r)$ を乗じ部分積分を施し、さらに (3) 式を代入して再び部分積分を行うと

$$\begin{aligned} & (-1)^n J_l \{ L_1(\sqrt{z}) z = c \} - J_l \{ L_1(\sqrt{z}) z = 0 \} - (2\mu + \lambda) a F_l J_l(\alpha r) C_n \{ u_{r=a} \} \\ & - (-1)^n \lambda F_l J_l \{ L_2(\sqrt{z}) z = c \} + \lambda F_l J_l \{ L_2(\sqrt{z}) z = 0 \} - \{ (2\mu + \lambda) F_l^2 + \mu N^2 \} C_n J_l \{ u \} \\ & - (\mu + \lambda) N F_l S_n J_l \{ w \} = 0 \end{aligned} \quad (4)$$

$$\begin{aligned} & a J_l(\alpha r) S_n \{ L_1(\sqrt{z}) z = a \} - \lambda N a J_l(\alpha r) C_n \{ u_{r=a} \} - (2\mu + \lambda) N \{ (-1)^n J_l \{ L_1(\sqrt{z}) z = c \} - J_l \{ L_1(\sqrt{z}) z = 0 \} \} \\ & - (\mu + \lambda) N F_l C_n J_l \{ u \} - \{ \mu F_l^2 + (2\mu + \lambda) N^2 \} S_n J_l \{ w \} = 0 \end{aligned} \quad (5)$$

上式中 $N = \alpha \pi / c$, a は円柱の半径, c は円柱の高さである。ここで式を簡単にすべく

$$C_n \{ u_{r=a} \} = \frac{a^2}{2} A_n, \quad S_n \{ L_1(\sqrt{z}) z = a \} = \frac{cN}{2} B_n$$

$$J_l \{ L_2(\sqrt{z}) z = c \} = \frac{a^2}{2} (D_1 - D_1'), \quad J_l \{ L_2(\sqrt{z}) z = 0 \} = \frac{a^2}{2} (D_1 + D_1')$$

$$J_l \{ L_1(\sqrt{z}) z = c \} = \frac{a^2 F_l}{2} (E_1 - E_1'), \quad J_l \{ L_1(\sqrt{z}) z = 0 \} = \frac{a^2 F_l}{2} (E_1 + E_1')$$

とし、(4), (5) 式に代入、よって $C_n J_l \{ u \}$ と $S_n J_l \{ w \}$ の連立方程式として解き、さらに逆変換を施し、下の函数を代入すると

$$u = \sum_n \cos Nz \left\{ G(Nr) + \frac{\mu + \lambda}{2\mu + \lambda} F(Nr) \right\} A_n + \frac{\mu + \lambda}{2\mu(2\mu + \lambda)} F(Nr) B_n$$

$$- \sum_l \frac{J_l(\alpha r)}{J_l(\alpha a)} \left\{ \left[\frac{\mu + \lambda}{2\mu + \lambda} (\phi_l^{(1)}(\alpha z) - \psi_l^{(1)}(\alpha z)) - \frac{\lambda}{2\mu + \lambda} \phi_l^{(2)}(\alpha z) \right] D_1 + \left[\frac{\mu + \lambda}{2\mu + \lambda} (\phi_l^{(2)}(\alpha z) - \psi_l^{(2)}(\alpha z)) - \frac{\lambda}{2\mu + \lambda} \phi_l^{(1)}(\alpha z) \right] D_1' + \left[\frac{1}{2\mu + \lambda} \phi_l^{(1)}(\alpha z) + \frac{\mu + \lambda}{2\mu(2\mu + \lambda)} (\phi_l^{(1)}(\alpha z) - \psi_l^{(1)}(\alpha z)) \right] E_1 - \left[\frac{1}{2\mu + \lambda} \phi_l^{(2)}(\alpha z) + \frac{\mu + \lambda}{2\mu(2\mu + \lambda)} (\phi_l^{(2)}(\alpha z) - \psi_l^{(2)}(\alpha z)) \right] E_1' \right\} F_l \frac{r}{a} A_n \quad (6)$$

$$w = \sum_n \sin Nz \left\{ \left[\frac{\mu + \lambda}{2\mu + \lambda} (\chi(Nr) - \omega(Nr)) - \frac{\lambda}{2\mu + \lambda} \chi(Nr) \right] A_n + \left[\frac{1}{2\mu + \lambda} (\chi(Nr) + \omega(Nr)) - \omega(Nr) \right] B_n \right\} + \sum_l \frac{J_l(\alpha r)}{J_l(\alpha a)} \left\{ \left[Q_l^{(1)}(\alpha z) + \frac{\mu + \lambda}{2\mu + \lambda} P_l^{(1)}(\alpha z) \right] D_1 + \left[Q_l^{(2)}(\alpha z) + \frac{\mu + \lambda}{2\mu + \lambda} P_l^{(2)}(\alpha z) \right] D_1' + \frac{\mu + \lambda}{2\mu(2\mu + \lambda)} \left[P_l^{(1)}(\alpha z) E_1 + P_l^{(2)}(\alpha z) E_1' \right] \right\} + \frac{1}{2} D_0 + \frac{1}{2} (1 - \frac{2z}{c}) D_0'$$

$$\frac{2}{a} \sum_l \frac{F_l}{N^2 + F_l^2} \frac{J_l(\alpha r)}{J_l(\alpha a)} = - \frac{I_1(Nr)}{I_1(Na)} = - G(Nr)$$

$$\frac{2}{a} \left\{ \frac{1}{N} + \sum_l \frac{N}{N^2 + F_l^2} \frac{J_l(\alpha r)}{J_l(\alpha a)} \right\} = \frac{I_0(Nr)}{I_0(Na)} = \chi(Nr)$$

$$\frac{4}{a} \sum_l \frac{F_l N}{(N^2 + F_l^2)^2} \frac{J_l(\alpha r)}{J_l(\alpha a)} = \frac{r I_0(Nr) I_1(Na) - a I_0(Na) I_1(Nr)}{I_1(Na)^2} = \frac{F(Nr)}{N}$$

$$\frac{4}{a} \sum_l \frac{F_l^2}{(N^2 + F_l^2)^2} \frac{J_l(\alpha r)}{J_l(\alpha a)} = \frac{r I_1(Nr) I_1(Na) - a I_0(Na) I_0(Nr)}{I_1(Na)^2} + \frac{2}{N} \frac{I_0(Nr)}{I_1(Na)} = \frac{\chi(Nr) - \omega(Nr)}{N}$$

$$\frac{2 F_l}{c} \frac{J_l(1 - (-1)^n)}{N^2 + F_l^2} \cos Nz = \begin{cases} \phi_l^{(1)}(\alpha z) \\ \phi_l^{(2)}(\alpha z) - \frac{2}{F_l c} \end{cases} = \frac{\sinh F_l (c - z) \mp \sinh F_l z}{\cosh F_l c \pm 1}$$

$$\frac{4 F_l}{c} \sum_n \frac{(1 - (-1)^n)}{(1 + (-1)^n)(N^2 + F_l^2)^2} \cos Nz = \begin{cases} \phi_l^{(1)}(\alpha z) - \psi_l^{(1)}(\alpha z) \\ \phi_l^{(2)}(\alpha z) - \psi_l^{(2)}(\alpha z) \end{cases}$$

$$= \left\{ \frac{\phi''(\xi, z)}{\phi''(\xi, z)} - \frac{F_1(z \cosh \xi, c-z) \pm (c-z) \cosh \xi, z}{\cosh \xi, c \pm 1} \right\}$$

$$\frac{z}{c} \sum_{n=1}^{\infty} \frac{(1-(-1)^n) N \sin N z}{(1+(-1)^n) N^2 + \xi^2} = \left\{ \frac{\alpha''(\xi, z)}{\alpha''(\xi, z)} \right\} = \frac{\cosh \xi, c-z \pm \cosh \xi, z}{\cosh \xi, c \pm 1}$$

$$\frac{4\xi^2}{c} \sum_{n=1}^{\infty} \frac{(1-(-1)^n) N \sin N z}{(1+(-1)^n) (N^2 + \xi^2)^2} = \left\{ \frac{P''(\xi, z)}{P''(\xi, z)} \right\} = \frac{F_1(z \sinh \xi, c-z) \pm (c-z) \sinh \xi, z}{\cosh \xi, c \pm 1}$$

(6), (7) 式を (3) 式に代入すれば各応力を求めらる。

4. 上下両面に逆対称剪断力を受ける場合:

境界条件は (図-1 参照)

- i) $(\sigma_z)_{z=0} = (\sigma_z)_{z=c} = 0$
- ii) $(\tau_r)_{r=a} = 0$
- iii) $(\tau_z)_{z=0} = -(\tau_z)_{z=c} = \tau(r) \therefore E_c = 0$
- iv) $W_{z=0} = -W_{z=c} \therefore D_c = 0$
- v) $(\tau_z)_{r=a} = 0 \therefore B_n = 0$

今 $\tau(r) = \tau_0 J_0(\xi_0 r)$ と可し

$$E_c' = \begin{cases} \frac{\tau_0}{\xi_0} J_0(\xi_0 a) & c'=1 \\ 0 & c' \neq 1 \end{cases}$$

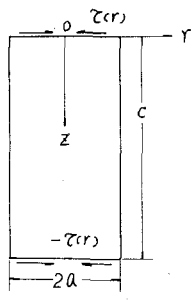


図-1

上の境界条件から (6), (7) 式に含まれる未知係数 A_n

B_c' を求める式は

$$(\sigma_z)_{z=0} = \frac{2\mu(\mu+\lambda)}{2\mu+\lambda} \sum_n N \{ \chi(\omega r) - \omega \chi(r) \} A_n - \sum_c \frac{F_1(\xi, r)}{J_0(\xi a)^2}$$

$$\times \left[\frac{2\mu(\mu+\lambda)}{2\mu+\lambda} \{ \phi''(0) - \psi''(0) \} D_c' - \left\{ \frac{\lambda}{2\mu(\mu+\lambda)} \phi''(0) - \frac{1}{2\mu} \right. \right.$$

$$\left. \times (\phi''(0) - \psi''(0)) \right\} E_c' - \frac{2\lambda}{a} A_0 - \frac{2\mu+\lambda}{c} D_c' = 0 \quad (8)$$

$$(\tau_r)_{r=a} = \frac{2\mu(\mu+\lambda)}{2\mu+\lambda} \sum_n N \cos Nz \left[\{ \chi(Na) + \omega \chi(Na) \} - \frac{2\mu+\lambda}{\mu+\lambda} \frac{1}{Na} \right]$$

$$\times A_n - \sum_c \frac{F_1}{J_0(\xi a)} \left[\frac{2\mu(\mu+\lambda)}{2\mu+\lambda} \{ \phi''(\xi, z) - \psi''(\xi, z) \} D_c' + \{ \phi''(\xi, z) \right.$$

$$\left. + \frac{\mu+\lambda}{2\mu+\lambda} (\phi''(\xi, z) - \psi''(\xi, z)) \right\} E_c' - \frac{2(\mu+\lambda)}{a} A_0 - \frac{\lambda}{c} D_c' = 0 \quad (9)$$

(8), (9) 式をポアソン比 $\nu = 0.25$, $c = 4.0 a$ として $c' = 8$, $\alpha = 16$ (ただし $\alpha = 2m+1$ のとき $A_n = 0$) について解き、各応力および変位を求めれば、図-2 および図-3 の如くである。

5. 結果の考察:

円柱の表面に剪断力を受ける場合の円柱内部の応力分布は σ_z を除いて表面付近から内部に向けて急激に減り得る。特に $z=0.2c$ 付近は表面の剪断力の影響はほとんど無くなる。しかし σ_z についてはこの影響が $z=0.1c$ 付近で最大となり以下漸次減り得る。

この計算では簡単なために $\tau(r) = \tau_0 J_0(\xi_0 r)$ の場合について計算を行ったが、任意の剪断力の分布についても同様の方法で計算出来る。

6. 結論:

本研究はコンクリート等の圧縮試験に於ける加圧面摩擦による影響を理論的に検討するに於けるもので、例え加圧面の摩擦により r 方向の変位が全く無かつても、また摩擦による剪断力の分布を本計算の形に仮定すれば、

$\sigma_c = 0.73 \rho$ (ρ : 圧縮強度) とわり、円柱周囲の圧縮応力は最大約 0.16 ρ 減少する。これは全くおまかせ値であるが、これにより加圧面の摩擦により強度の増加する現象を説明することが出来る。

なお、この問題のより実際的な研究は現在続けて行っている。

【参考文献】

(1) S. G. Nomachi: Memoirs of the Muroran Institute of Technology Vol. 3, No. 3, 91 (1951)

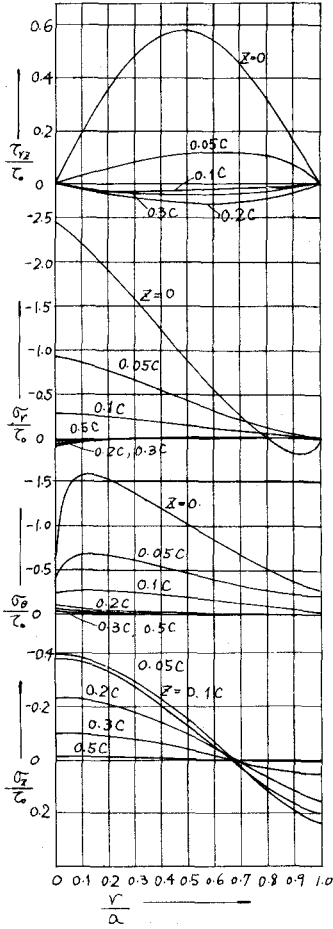


図-2. 各応力の分布状態

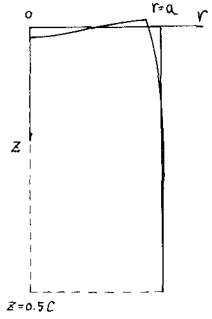


図-3 表面の変形状態